



Sposób stosowania IRN-IFU (instrukcja obsługi)

205 South 600 West Logan, Utah 84323, Stany Zjednoczone Ameryki – Tel. (800) 729-8350 – Tel. (435) 755-9848 – Faks: (435) 755-0015 – www.scytek.com Wersja 5, 16.05.2023

Zestaw bejc żelaznych

Opis i zasada

Zestaw Iron Stain Kit jest przeznaczony do stosowania w wykrywaniu żelaza w tkankach i szpiku kostnym. Żelazo żelazowe zwykle znajduje się w niewielkich ilościach w szpiku kostnym i śledzionie. Nienormalnie duże złogi można zaobserwować w hemochromatozie i hemozyderozie.

Produkt ten oparty jest na reakcji błękitu pruskiego, w której żelazo reaguje z kwaśnym roztworem żelazocyjanku potasu, tworząc nierozpuszczalny niebieski produkt zwany błękitem pruskim. Tylko jony żelaza luźno związane z kompleksami białkowymi będą barwić się na niebiesko. Silnie związane jony żelaza nie plamią się.

Oczekiwane rezultaty

Żelazo: Jasny niebieski
Jądra: Czerwony
Tło: Różowy

Rozmazuje

Sideroblasty: Są to jądrzaste erythrocyty zawierające co najmniej jedną małą niebieską granulkę. Jeśli niebieskie granulki otaczają jądro, komórka jest syderoblastem z pierścieniem.

Siderocyty: Są to erythrocyty bez jądra zawierające co najmniej jedną niebieską granulkę.

Żelazo siateczkowo-śródbłonkowe: Zwykle postrzegane jako niebieskie cząstki na rozmazie szpiku lub jako niebieskie cząstki w cytoplazmie lub komórkach fagocytarnych.

Zawartość zestawu

- | | | |
|---|---------|--|
| 1. Roztwór żelazocyjanku potasu | 18-25°C | |
| 2. Roztwór kwasu solnego (2%) | 18-25°C | |
| 3. Szybkie czerwone rozwiązanie jądrowe | 18-25°C | |

Składowanie

Sugerowane elementy sterujące (brak w zestawie)

Śledziona, szpik kostny.

Zastosowania/ograniczenia

Wyłącznie do diagnostyki in vitro.

Nie używać, jeśli odczynniki zmętnieją lub wytrącają się

Nie używać przeterminowanej daty ważności.

Należy zachować ostrożność podczas obchodzenia się z odczynnikiemami.

Niesterylne

Przeznaczony do odcinków FFPE ciętych z prędkością 5-10µm.

Ta procedura nie została zoptymalizowana pod kątem zamrożonych sekcji.

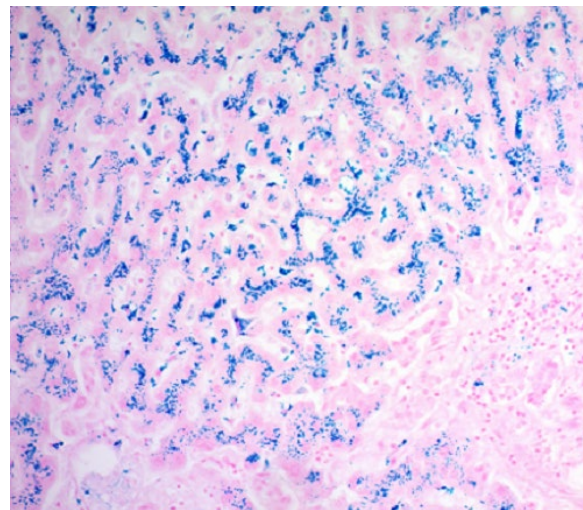
Zamrożone sekcje mogą wymagać modyfikacji protokołu.

Składowanie

Przechowuj zestaw i wszystkie elementy w temperaturze pokojowej (18-25°C).

Bezpieczeństwo i środki ostrożności

Prosimy o zapoznanie się z aktualnymi kartami charakterystyki (SDS) dla tego produktu i komponentów, klasyfikacją GHS, piktogramami i pełnymi zwrótami wskazującymi rodzaj zagrożenia/środkami ostrożności.



Ferric iron deposits in Human Liver viewed at 20X

Procedura

Uwaga: Używaj szkła umytego kwasem lub bielonego. Przed użyciem opłucz wszystkie szklane naczynia wodą destylowaną. Nie używaj metalowych kleszczy do przenoszenia szkiełka podczas procedury barwienia.

1. W razie potrzeby odparafinować skrawki i uwodnić do wody destylowanej.
2. Wymieszaj równe objętości roztworu żelazocyjanku potasu i roztworu kwasu solnego, aby uzyskać działający roztwór płamy żelaza. Użyj raz i wyrzuć.
3. Inkubować szkiełko w działającym roztworze bejcy żelaznej przez 3-5 minut.
4. Dokładnie spltucz w wodzie destylowanej.
5. Przesuń płamę w roztworze Nuclear Fast Red przez 5 minut.
6. Spltucz w 4 podmianach wody destylowanej.
7. Odwodnić w 3 przemianach alkoholu bezwodnego przez 2 minuty każda.
8. Wyczyść i zamontuj w żywicy syntetycznej.

Odwołania

1. Ryosuke Nakamura, Yasukazu Takanezawa, Yuka Ohshiro, Shimpei Uruguchi, Masako Kiyono, Wpływ form chemicznych gadolinu na śledzionę u myszy po

- pojedynczym podaniu dożylnym, *Biochemistry and Biophysics Reports*, tom 29, 2022, 101217, ISSN 2405-5808, <https://doi.org/10.1016/j.bbrep.2022.101217>.
2. Yamaguchi, H., Honda, S., Torii, S. i wsp. Wipi3 jest niezbędny do alternatywnej autofagii, a jego utrata powoduje neurodegenerację. *Nat Commun* 11, 5311 (2020). <https://doi.org/10.1038/s41467-020-18892-w>
3. Jing Qi, Jong-won Kim, Zixiong Zhou, Chae-Woong Lim, Bumseok Kim, Ferroptoza wpływa na postęp niealkoholowego stłuszczeniowego zapalenia wątroby poprzez modulację śmierci komórek za pośrednictwem peroksydacji lipidów u myszy, *The American Journal of Pathology*, tom 190, wydanie 1, 2020, strony 68-81, ISSN 0002-9440, <https://doi.org/10.1016/j.ajpath.2019.09.011>.
4. G.-H. Młody, T.-M. Huang, C.-H. Wu, C.-F. Lai, C.-C. Hou, K.-Y. Peng, C.-J. Liang, S.-L. Lin, S.-C. Chang, P.-R. Tsai, K.-D. Wu, V.-C. Wu i W.-J. Ko, "Hemojuwelina moduluje stres żelaza podczas ostrego uszkodzenia nerek: poprawa przez inhibitor furyny", *Antioxidants & Redox Signaling*, tom 20, nr 8, s. 1181-1194, marzec 2014.
6. Tetsuya Kagawa, Yuki Matsumi, Hiromichi Aono, Toshiaki Ohara, Hiroshi Tazawa, Kunitoshi Shigeyasu, Shuya Yano, Sho Takeda, Yasuhiro Komatsu, Robert M. Hoffman, Toshiyoshi Fujiwara i Hiroyuki Kishimoto (2021) Immunohipertermia wywołana przez nanocząstki sprzężone z przeciwciałami selektywnie celuje i eliminuje pojedyncze komórki nowotworowe, *Cell Cycle*, 20:13, 1221-1230, DOI: 10.1080/15384101.2021.1915604
5. Sheenan, D.C., Hrapchak, B.B. Teoria i praktyka histotechniki, wydanie 2. Battelle Press, Columbus, Ohio. Strona 217. 1980
6. Carson, F.L., *Histotechnologia*; Tekst instruktażowy, ASCP Press, Chicago, IL. Strony 214-215. 1990



ScyTek Laboratories, Inc.
205 South 600 West
Logan, UT 84321
435-755-9848
U.S.A.



EC REP

Emergo Europe
Prinsessegracht 20
2514 AP The Hague, The Netherlands